

УДК 681.3

## ДЕКОДИРОВАНИЕ НЕЛИНЕЙНОГО ПОМЕХОУСТОЙЧИВОГО КОДА НА БАЗЕ КРИПТОГРАФИЧЕСКОГО АЛГОРИТМА RIJNDAEL

Д.М. БИЛЬДЮК, С.Б. САЛОМАТИН

Белорусский государственный университет информатики и радиоэлектроники  
П. Бровка, 6, Минск, 220013, Беларусь

Поступила в редакцию 24 июля 2012

Рассматривается нелинейный помехоустойчивый код на базе алгоритма криптографического преобразования данных Rijndael. Приведены варианты реализации декодера Rijndael-кода на основе алгоритма максимального правдоподобия и алгоритмов Чейза, а также их сравнение на основе зависимости вероятности ошибки от отношения сигнал/шум. Произведена оценка пропускной способности декодеров при параллельной и последовательной реализации алгоритмов декодирования.

*Ключевые слова:* криптографическое преобразование данных, помехоустойчивое кодирование, алгоритм Rijndael, AES, границы помехоустойчивого кодирования, нелинейный код.

### Введение

Использование помехоустойчивых кодовых конструкций в криптографии дает основание для исследований нелинейных помехоустойчивых кодов на основе криптографических функций. Известны исследования помехоустойчивых свойств Rijndael-кода [1, 2]. Более того существуют работы связывающие стойкость алгоритмов шифрования против линейного криптоанализа и их расположение относительно границы Варшавова-Гильберта [3].

Криптографические алгоритмы шифрования должны быть устойчивыми против известных методов криптоанализа. Стойкость к корреляционным методам криптоанализа, непредсказуемость (за полиномиальное время) значения кодового слова, крайне низкая вероятность совпадения, а также сбалансированность кодовых слов алгоритмов криптографического преобразования информации обуславливает приемлемые дистанционные свойства нелинейных кодовых конструкций на их основе [4, 5].

Однако нелинейная структура помехоустойчивых кодов на базе криптографических преобразований ведет не только к более высокой вычислительной сложности (по сравнению с линейными структурами) оценки их параметров, но и к более сложным алгоритмам декодирования. Оценка пропускной способности, требований к памяти и корректирующей способности декодеров нелинейного помехоустойчивого кода является важной с точки зрения практического использования последних. В частности, на примере декодера максимального правдоподобия (далее ДМП) помехоустойчивого кода на основе алгоритма Rijndael (далее  $R$ -кода) можно сделать вывод о максимальной корректирующей способности, наибольшим требованиям к памяти и наименьшей пропускной способности нелинейных декодеров в целом.

### Схема формирования $R$ -кода

$R$ -кодом с параметрами  $(n, k, d_{\min})_q$ , определенным над алфавитом  $GF(q)$ , будем называть множество разрешенных кодовых слов  $\{c_i \mid i = 0, 1, \dots, q^k - 1\} \in GF(q^n)$ , с минимальным кодовым расстоянием  $d_{\min}$  в метрике Хэмминга [5]. Тогда формирование  $R$ -кода можно формализовать

звать как отображение некоторого пространства  $GF(q^k)$   $k$ -мерных векторов над полем  $GF(q)$   $\mathbf{a} = (a_0, a_1, \dots, a_{k-1})$  в другое пространство  $GF(q^n)$   $n$ -мерных  $q$ -ичных векторов  $\mathbf{c} = (c_0, c_1, \dots, c_{n-1})$ , где  $a_i, c_j \in GF(q)$  для любого  $i \in \{0, \dots, k-1\}$  и любого  $j \in \{0, \dots, n-1\}$ . Если  $n > k$ , то  $R$ -код, как код, основанный на криптографической функции, трактуется как нелинейный избыточный код, корректирующие свойства которого зависят от  $d_{\min}$ , кодовые слова  $\mathbf{c}$  которого нелинейно зависят как от входных информационных слов  $\mathbf{a}$ , так и от используемого ключа шифрования  $\mathbf{s} = (s_0, s_1, \dots, s_{m-1}) \in GF(q^m)$ . Тогда функция кодирования  $R$ -кода задается как векторная функция  $\varphi(\mathbf{a}, \mathbf{s})$ :

$$\mathbf{c} = \varphi(\mathbf{a}, \mathbf{s}): GF(q^k) \rightarrow GF(q^n). \quad (1)$$

Практическая реализация функции  $\varphi$  осуществляется на основе алгоритма кодирования линейных кодов в спектральной области [5]:

– информационный вектор  $\mathbf{a}$  преобразуется в вектор  $\mathbf{a}'$  при помощи отображения:

$$\mathbf{a}' = \psi(\mathbf{a}): GF(q^k) \rightarrow GF(q^n),$$

где  $\psi(\mathbf{a}) = \{a_0, a_1, \dots, a_{k-1}, v_0, v_1, \dots, v_{r-1}\}$ ,  $\mathbf{v} = (v_0, v_1, \dots, v_{r-1}) \in GF(q^r)$  – вектор избыточности дополняющий информационный вектор до заданной длины  $n$ , т.е.  $r = n - k$ . Вектор  $\mathbf{v}$  представляет собой фиксированную константу из  $GF(q^r)$ , которая может формироваться из нулей (как в линейных кодах), а также случайным образом – поскольку в данном случае отсутствует связь нулевых элементов с корнями полиномов на основе преобразования Фурье в поле Галуа [5]. Вектор  $\mathbf{v}$  может быть как открытым, так и секретным параметром;

– кодовый вектор  $\mathbf{c}$  формируется как отображение:

$$\mathbf{c} = \xi(\mathbf{a}', \mathbf{s}): GF(q^n) \rightarrow GF(q^n),$$

где функция  $\xi$  – криптографическое преобразование информации (зашифрование) при помощи алгоритма Rijndael, т.е.  $\varphi(\mathbf{a}, \mathbf{s}) = \xi(\psi(\mathbf{a}), \mathbf{s})$ .

Поскольку длина преобразуемых функцией  $\xi$  данных в режиме электронной кодовой книги фиксирована, то для формирования  $R$ -кодов произвольной длины  $n$  необходимо использовать режимы с обратной связью [4].

После кодирования вектор  $\mathbf{c}$  подвергается воздействию случайных преднамеренных и непреднамеренных воздействий, приводящих к искажению его символов:

$$\mathbf{y} = \varepsilon(\mathbf{c}, \mathbf{e}): GF(q^n) \rightarrow GF(q^n),$$

где  $\varepsilon(\mathbf{c}, \mathbf{e}) = \{y_i = (c_i + e_i) \bmod q \mid i = 0, \dots, n-1\}$ ,  $\mathbf{y} = (y_0, y_1, \dots, y_{n-1}) \in GF(q^n)$  – вектор искаженных символов,  $\mathbf{e} = (e_0, e_1, \dots, e_{n-1}) \in GF(q^n)$  – вектор ошибок.

Задачей декодера является восстановление искаженных символов в векторе  $\mathbf{y}$ , т.е. поиск вектора ошибок  $\mathbf{e}$ . Максимальная кратность исправляемых кодом ошибок  $t = \left\lfloor \frac{d_{\min} - 1}{2} \right\rfloor$ .

После того как искаженные символы исправлены, функция восстановления информационного вектора (т.е. функция, обратная к функции представленной в формуле 1) осуществляет обратное отображение:

$$\mathbf{a} = \varphi^{-1}(\mathbf{c}, \mathbf{s}): GF(q^n) \rightarrow GF(q^k), \quad (2)$$

где  $\varphi^{-1}(\mathbf{c}, \mathbf{s}) = \psi^{-1}(\xi^{-1}(\mathbf{c}, \mathbf{s}))$ ,  $\xi^{-1}$  – функция расшифрования алгоритма Rijndael в заданном режиме,  $\psi^{-1}$  – функция восстановления (деконкатенации) вектора  $\mathbf{a} = (a_0, a_1, \dots, a_{k-1})$  из вектора  $\mathbf{a}' = (a_0, a_1, \dots, a_{k-1}, v_0, v_1, \dots, v_{r-1})$ .

## Оценка декодера максимального правдоподобия $R$ -кода

Декодирование по принципу максимального правдоподобия относится к классу  $NP$ -полных задач и осуществляет соотнесение принятого кодового слова с ошибкой к ближайшему (в смысле метрики Хэмминга) разрешенному кодовому слову [6]. Последнее означает, что для используемого  $(n, k, d_{\min})_q$ -кода ДМП содержит в памяти  $q^k$  разрешенных кодовых слов  $C = \{c_j \mid j = 0 \dots q^k - 1\}$  либо вычисляет их динамически по мере необходимости, а при декодировании рассчитывает столько же расстояний Хэмминга с целью поиска минимального.

Кроме скорости декодирования и занимаемой памяти существует оценка используемого кода и метода декодирования, отображаемая как зависимость вероятности ошибки, приходящейся на один бит информации от отношения сигнал/шум на входе демодулятора в канале с аддитивным белым гауссовским шумом (АБГШ) [6]. Как правило, такие оценки даются для сигналов с двоичной кодовой манипуляцией по фазе (BPSK) использованием помехоустойчивого кода и без него. На рис. 1 представлена зависимость вероятности ошибки на один бит информации  $P_b$  от отношения сигнал/шум  $E_b/N_0$  в канале с АБГШ при использовании BPSK-модуляции (с частотой дискретизации  $10f_0$  ( $f_0$  – несущая частота), 12-ти разрядным квантованием и с размещением десяти периодов несущей частоты в одном бите) для некодированного BPSK,  $(31,6,7)_2$   $R$ -кода с ДМП и  $(31,6,15)_2$  БЧХ-кода с декодированием на основе алгоритма Берлекемпа-Мессе.

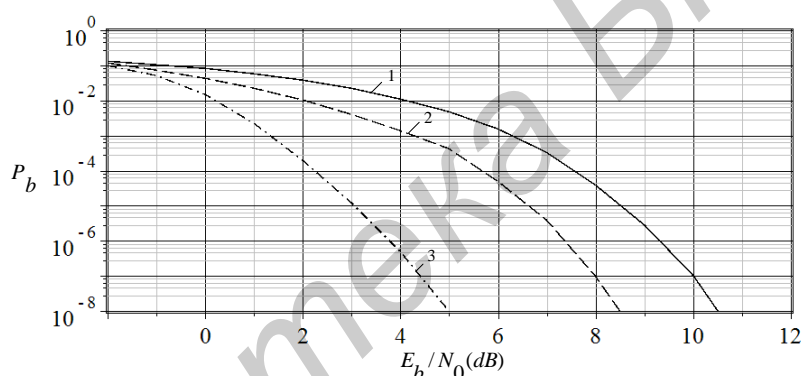


Рис. 1. Оценка характеристик кодовых конструкций в канале с АБГШ:  
1 – некодированный BPSK-сигнал; 2 –  $(31,6,7)_2$  Rijndael-код с ДМП; 3 –  $(31,6,15)_2$  БЧХ-код с декодированием на основе алгоритма Берлекемпа-Мессе

Из рисунка видно, что выигрыш  $R$ -кода с ДМП при вероятности ошибки  $P_b = 10^{-6}$  по сравнению с некодированным сигналом составляет 1 дБ, в то же время по сравнению с БЧХ-кодом при той же вероятности ошибки проигрыш составляет около 3,5 дБ. С одной стороны, проигрыш сочетается с дополнительными криптографическими свойствами помехоустойчивого  $R$ -кода, но с другой стороны свидетельствует о необходимости поиска методов увеличения минимального расстояния Хэмминга  $R$ -кода.

## Быстрое декодирование $R$ -кода

Декодирование по принципу максимального правдоподобия требует значительных затрат памяти и обладает высокой вычислительной сложностью [5, 6]. Особенно данная проблема актуальна для высокоскоростных  $R$ -кодов большой длины. Более быстрые декодеры для высокоскоростных  $R$ -кодов большой длины с меньшими затратами памяти могут быть построены на основе алгоритмов Чейза. Известны три типа алгоритмов Чейза для декодирования  $(n, k, d_{\min})_q$ -кода [6].

*Тип 1.* Проверяются все комбинации ошибок на расстоянии не более  $(d_{\min} - 1)$  от принятого слова.

Тун 2. Проверяются комбинации ошибок веса  $t = \lfloor (d_{\min} - 1) / 2 \rfloor$  и меньше, размещаемых на любых позициях за исключением  $\lfloor d_{\min} / 2 \rfloor$  наиболее надежных символов.

Тун 3. Проверяются те комбинации ошибок, для которых  $i$  ошибок размещается на  $i$  наименее надежных позициях,  $i$  нечетно,  $1 \leq i \leq d_{\min} - 1$ .

Декодеры на базе алгоритмов Чейза (далее ДЧ), в отличие от ДМП, содержат в памяти либо вычисляют не множество всех кодовых слов, а множество всех возможных ошибок по заданным критериям. Вектор ошибок считается найденным, если функция расшифрования алгоритма Rijndael преобразует текущую оценку кодового слова в вектор  $\mathbf{a}'$  заданной структуры (2). Очевидно, что требования к памяти и время декодирования в ДМП и ДЧ зависят от мощности перебираемых множеств в ДМП и ДЧ, а мощность, в свою очередь, в ДМП зависит от параметра  $k$ , в ДЧ – от  $d_{\min}$  (и  $n$  в типе 2). Тогда ДЧ не обязательно является более эффективным чем ДМП или наоборот. Кроме того, ДЧ на основе алгоритмов типа 2 (далее ДЧ2) и 3 требует наличия демодулятора с мягкими решениями для оценки надежности символов [6]. Более эффективным среди ДЧ считается ДЧ2 [6]. Для заданных параметров кода  $(n, k, d_{\min})_q$  мощность перебираемого множества в ДМП определяется мощностью самого кода –  $M_{\text{ДМП}} = q^k$ , а мощность перебираемого множества ошибок в ДЧ2 –  $M_{\text{ДЧ2}} = \sum_{i=1}^t C_{n-t+1}^i$ , как сумма

сочетаний из общей длины наименее надежных символов  $(n - \lfloor \frac{d_{\min}}{2} \rfloor = n - t + 1)$  кодового слова

по всем возможным ошибкам веса  $i$ ,  $i = 1 \dots t$ . Тогда вычислительная сложность ДЧ2, при фиксированной длине кода  $n$ , с ростом длины информационного вектора  $k$  растет за счет увеличения общей длины наименее надежных символов и одновременно убывает из-за уменьшения максимального веса исправляемых ошибок  $t$ . На рис. 2 представлены зависимости мощности перебираемых множеств  $R$ -кода от длины информационного вектора  $k$  при фиксированном  $n = 34$  для ДМП и ДЧ2.

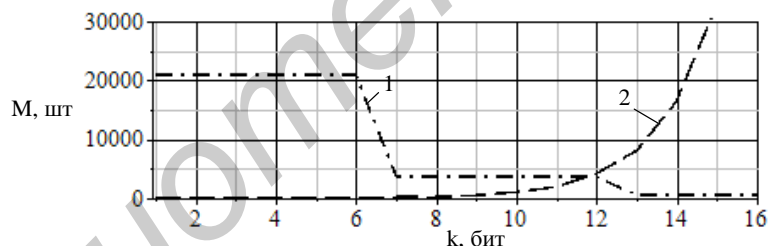


Рис. 2. Зависимость мощности перебираемых множеств  $R$ -кода от длины информационного вектора  $k$  при фиксированном  $n = 34$  для ДМП и ДЧ2:

1 – мощность перебираемого множества для ДЧ2; 2 – мощность перебираемого множества для ДМП

Из рисунка видно, что ДМП более эффективен для низкоскоростных кодов, а для высокоскоростных кодов – ДЧ2. Граница эффективности для случая представленного на рис. 2 лежит в районе  $k = 12$ , т.е. при скорости  $R$ -кода  $k / n = 0,353$ . Указанная граница с ростом фиксированного  $n$  растет в смысле параметра  $k$ , при этом скорость кода на границе стремится к  $k / n = 0,38$  (см. рис. 3).

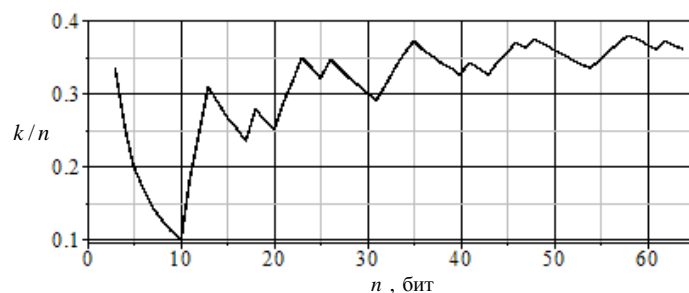


Рис. 3. Зависимость границы эффективности от длины фиксированного  $n$

Однако оценка дистанционных свойств высокоскоростного  $R$ -кода, особенно при больших  $n$ , для современной вычислительной техники может представлять собой вычислительно сложную задачу, неразрешимую за разумное время. Тогда корректирующие свойства можно оценить, исходя из вероятности ошибки на информационный бит в зависимости от отношения сигнал/шум в канале с АБГШ (рис. 1), ограничившись некоторой приемлемой мощностью множества возможных ошибок, начиная перебор наиболее вероятных ошибок, располагающихся на наименее надежных позициях. При такой реализации алгоритмы Чейза типа 2 и 3 заменяются одним модифицированным алгоритмом. Более того, скорость обработки кодовых слов в декодере на основе модифицированного алгоритма (далее ДЧМ) может быть выше чем в ДМП при равных мощностях  $M_{\text{ДМП}}$  и  $M_{\text{ДЧМ}}$ , поскольку декодирование в ДЧМ может закончиться раньше, чем алгоритм декодирования переберет все возможные значения ошибок (в ДМП перебор всех кодовых слов обязателен).

На рис. 4 представлена оценка корректирующей способности высокоскоростного  $R$ -кода  $(127,106)_2$  на основе зависимости вероятности ошибки от отношения сигнал/шум в канале с АБГШ при использовании ДЧМ с ограниченной мощностью  $M'_{\text{ДЧМ}} = 2^{20}$  (условия те же, что и при формировании зависимости на рис.1), а также  $(127,106,7)_2$  БЧХ-кода с декодированием на основе алгоритма Берлекемпа-Мессис.

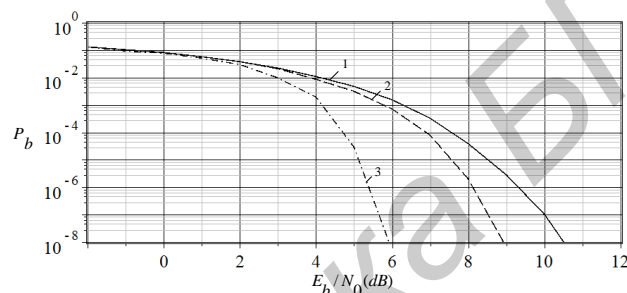


Рис. 4. Оценка корректирующей способности высокоскоростного  $(127,106)_2$   $R$ -кода:  
1 – некодированный BPSK-сигнал; 2 –  $(127,106)_2$   $R$ -код с ДЧМ; 3 –  $(127,106,7)_2$  БЧХ-код с декодированием на основе алгоритма Берлекемпа-Мессис

Оценка, представленная на рис. 4, показывает, что высокоскоростные  $R$ -коды также обладают помехоустойчивыми свойствами (при вероятности ошибки  $P_b = 10^{-6}$  выигрыш по сравнению с некодированным сигналом составляет 1 дБ, в то же время по сравнению с БЧХ-кодом при той же вероятности ошибки проигрыш составляет около 2,8 дБ), а ДЧМ делает возможным коррекцию ошибок при их использовании. Также следует заметить, что вероятность ошибки при низких отношениях сигнал/шум может зависеть от ограниченной мощности  $M'_{\text{ДЧМ}}$ , поскольку вероятность возникновения ошибок (в том числе и большой кратности) при этом будет достаточно высокой, что приведет к повышению необходимой для корректировки мощности  $M_{\text{ДЧМ}} > M'_{\text{ДЧМ}}$ . На рис. 5 представлена зависимость времени выполнения операции декодирования кодового слова для низкоскоростного  $(127,14,33)_2$   $R$ -кода (ДМП) и высокоскоростного  $(127,106)_2$   $R$ -кода (ДЧМ) при фиксированной мощности  $M'_{\text{ДЧМ}} = 2^{14}$  от отношения сигнал/шум (условия те же, что и при формировании зависимости на рис. 1).

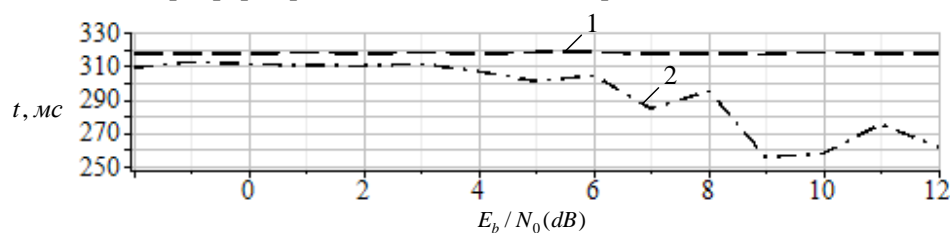


Рис. 5. Зависимость времени выполнения декодирования высокоскоростного и низкоскоростного  $R$ -кодов от отношения сигнал/шум:  
1 – декодирование с ДМП; 2 – декодирование с ДЧМ

## Выводы

Полученные результаты показывают, что криптографические функции типа Rijndael могут быть использованы в качестве нелинейных помехоустойчивых кодовых конструкций. Более того, существуют методы декодирования таких конструкций. Для декодирования низкоскоростных  $R$ -кодов более эффективным является ДМП, а для низкоскоростных – ДЧ2. Рассмотренные  $R$ -коды обладают меньшей корректирующей способностью, чем коды БЧХ, однако имеют дополнительные криптографические свойства. Также перспективным является поиск методов повышения дистанционных свойств  $R$ -кода.

## DECODING OF THE NONLINEAR ERROR CONTROL CODE ON THE BASIS OF CRYPTOGRAPHIC ALGORITHM OF RIJNDAEL

D.M. BILDZIUK, S.B. SALOMATIN

### Abstract

The nonlinear error control code on the basis of cryptographic transformation of data through Rijndael algorithm is considered. Correction properties and fast decoding algorithms of a Rijndael-code are compare.

### Список литературы

1. *Elumalai R., Reddy A.R.* // International Journal of Scientific Research. 2011. Vol. 2, Issue 3.
2. Specification for the ADVANCED ENCRYPTION STANDARD (AES), Federal Information Processing Standards Publication 197, November 26, 2001.
3. *Matsui M.* //The first experimental cryptanalysis of the Data Encryption Standard, CRYPTO 94 (Springer LNCS 839) 1-11.
4. *Фомичев В.М.* Дискретная математика и криптология. Курс лекций. М.: ДИАЛОГ-МИФИ, 2003.
5. *MacWilliams F.J., Sloane N.J.A.* The Theory of Error- Correcting Codes. North-Holland, 1977.
6. *Морелос-Сарагоса Р.* Искусство помехоустойчивого кодирования. Методы, алгоритмы, применение. М., 2005.